

Removal of Methylene Blue Pollutant from Wastewater Using ZnFe₂O₄-ZnO-Perlite Nanocomposite in Batch Reactor

R. Bayat¹, P. Derakhshi², R. Rahimi³, A. A. Safekordi⁴, M. Rabbani⁵

1. PhD, Dept. of Applied Chemistry, Science and Research Branch,
Islamic Azad University, Tehran, Iran

2. Assist. Prof., Faculty of Chemistry, Islamic Azad University
Tehran North Branch, Hakimieh, Tehran, Iran

(Corresponding Author) rahimi_rah@iust.ac.ir

3. Prof., Dept. of Chemistry, Iran University of Science and
Technology, Narmak, Tehran, Iran

4. Prof., Dept. of Chemistry, Science and Research Branch,
Islamic Azad University, Tehran, Iran

5. Assist. Prof., Dept. of Chemistry, Iran University of
Science and Technology, Narmak, Tehran, Iran

(Received June 1, 2019 Accepted Jan. 22, 2020)

To cite this article:

Bayat, R., Derakhshi, P., Rahimi, R., Safekordi, A. A., Rabbani, M. 2020. "Removal of methylene blue pollutant from wastewater using ZnFe₂O₄-ZnO-Perlite nanocomposite in batch reactor" Journal of Water and Wastewater, 31(4), 114-126. Doi: 10.22093/wwj.2020.188320.2878. (In Persian)

Abstract

Methylene blue is the most common colored material that is used to stain cotton, wool and silk; it has a high global consumption, and is found in high-tech textile wastewater. In this study, the photocatalysis degradation reaction of methylene blue (MB) in polluted water was performed using a ZnFe₂O₄-ZnO-perlite nanocomposite in suspension condition under UV and visible LED illumination in a batch photoreactor. To prepare ZnFe₂O₄-ZnO-perlite nanocomposite, first, ZnFe₂O₄ nanospheres were synthesized by hydrothermal route, ZnO nanoparticles were prepared via sol-gel method in media containing perlite and ZnFe₂O₄. To detect prepared nanocomposite, scanning electron microscopy (SEM) images, Fourier-transform infrared spectroscopy (FT-IR) and X-ray powder diffraction (XRD) pattern were used. Effects of operating factors on photocatalyst degradation such as catalyst amount, powers of UV and visible LED lamps, radiation duration and reaction temperature were investigated. The highest efficiency was obtained under optimal conditions (3 g/L photocatalyst amount, UV power and LED power of 20 watts, the radiation time of 120 minutes and temperature of 35 °C). The kinetic reaction was investigated in optimal conditions and the results showed that its kinetics was first order and the results were acceptable in these studies. Based on these results, a method for photocatalytic degradation was obtained using a ZnFe₂O₄-ZnO-perlite nanocomposite, which can be used to expand it into industrial form, for wastewater treatment in industry.

Keywords: Nanocomposite, Methylene Blue, Batch Reactor.



حذف آلاینده متیلن بلو از پساب با استفاده از نانو کامپوزیت-ZnO-perlite (Batch)

راحله بیات^۱، پیروز درخشی^۲، رحمت الله رحیمی^۳، علی اکبر سیف کردی^۴، محبوبه ربانی^۵

- گروه شیمی کاربردی، دانشکده علوم پایه، دانشگاه آزاد اسلامی واحد علوم و تحقیقات، تهران، ایران
- استادیار، دانشکده شیمی، دانشگاه آزاد اسلامی، واحد تهران شمال، تهران، ایران
- استاد، دانشگاه علم و صنعت ایران، دانشکده شیمی، تهران، ایران
rahimi Rah@iust.ac.ir (نویسنده مسئول)
- استاد، گروه شیمی، دانشکده علوم پایه، دانشگاه آزاد اسلامی واحد علوم و تحقیقات، تهران، ایران
- استادیار، دانشکده شیمی، دانشگاه علم و صنعت ایران، تهران، ایران

(دریافت ۹/۱۱/۱۱ پذیرش ۹/۱۱/۲)

برای ارجاع به این مقاله به صورت زیر اقدام بفرمایید:

بیات، ر.، درخشی، پ.، رحیمی، ر.، سیف کردی، ع.، ربانی، م.، ۱۳۹۹، «حذف آلاینده متیلن بلو از پساب با استفاده از نانو کامپوزیت ZnFe₂O₄-ZnO-perlite در راکتور ناپیوسته (Batch)» مجله آب و فاضلاب، ۳۱(۴)، ۱۲۶-۱۱۴.

Doi: 10.22093/wwj.2020.188320.2878

چکیده

متیلن بلو رایج ترین ماده رنگی در جهان برای رنگ‌آمیزی پنبه، پشم و ابریشم با مصرف زیاد است که در پساب صنایع نساجی به مقدار زیاد یافت می‌شود. در این پژوهش واکنش تجزیه فوتوكاتالیزگری متیلن بلو در پساب با استفاده از نانو کامپوزیت ZnFe₂O₄-ZnO-perlite در حالت سوسپانسیون و تابش نورهای فرابنفش و مرئی LED در فوتوراکتور ناپیوسته انجام شد. برای تهیه نانو کامپوزیت ZnFe₂O₄-ZnO-perlite ابتدا ترکیب نانوگویی‌های ZnFe₂O₄ با استفاده از روش هیدروترمال سنتز شد. در ادامه، نانوذرات اکسید روی در محیط حاوی پرلیت و ZnFe₂O₄ با روش سل-زل سنتز شد. برای شناسایی نانو کامپوزیت تهیه شده از تصاویر میکروسکوپ الکترونی روبشی، طیف سنجی تبدیل فوریه-زیر قرمز و همچنین الگوی پراش پرتو ایکس استفاده شد. تأثیر عوامل عملیاتی در تجزیه فوتوكاتالیزگری نظیر مقدار کاتالیزگر، توان لامپ‌های UV و مرئی LED، مدت زمان تابش و دمای واکنش بورسی شد و بیشترین کارایی در شرایط بهینه با مقدار نانو فوتوكاتالیزگر ۳ گرم در لیتر، توان لامپ‌های فرابنفش و مرئی LED ۲۰ وات، مدت زمان تابش ۱۲۰ دقیقه و دمای ۳۵ درجه سلسیوس مشاهده شد. واکنش از نظر سینتیکی در شرایط بهینه بورسی شد و نتایج نشان داد که سینتیک آن شبیه مرتبه اول بود و نتایج قابل قبولی در این بورسی‌ها به دست آمد. بر اساس این نتایج روشی برای تجزیه فوتوكاتالیزگری با استفاده از نانو کامپوزیت ZnFe₂O₄-ZnO-perlite بددست آمد که می‌توان با گسترش آن به شکل صنعتی، برای تجزیه پساب‌های رنگی در صنایع استفاده نمود.

واژه‌های کلیدی: نانو کامپوزیت، متیلن بلو، راکتور ناپیوسته (Batch)

۱- مقدمه

صنایع مختلف نساجی، چرم، پارچه، رنگ‌سازی، کاغذ و نیز پساب‌های خانگی منابع مهم آلودگی‌های محیطی هستند و در بیشتر کشورها پساب این صنایع بدون تصفیه در سیستم‌های آبهای طبیعی تخلیه می‌شوند. در صنایع رنگرزی مقدار قابل توجهی پساب

که بخش اصلی آن‌ها باقیمانده رنگ‌ها هستند، نیز تولید می‌شوند. از بین همه انواع مواد رنگی، رنگ‌های آزو^{۹۸} وسیع‌ترین کاربرد را بهدلیل تنوع در ساختمان شیمیایی و تولید آسان دارند. رنگ‌های

۹۸ Azo



هیدروژن پر اکسید، در مجاورت کاتالیزگر مناسب و در مقابل تابش همزمان پرتو UV و LED انجام می شود (Tian et al., 2012; Hoshiyama et al., 2016; Raza et al., 2016; Behnajady et al., 2006).

در سال های اخیر استفاده از خاک های معدنی نظیر پرلیت^۲، بنتونیت^۳ و کلینوپیتیولیت^۴ به عنوان جاذب برای حذف آلاینده های رنگی از پسابها به طور وسیعی استفاده شده است (Kong et al., 2006).

2011, Srinivasan et al., 2006)

از سویی خاصیت رنگبری برخی از فریت های مغناطیسی نظیر ZnFe₂O₄, MnFe₂O₄, CuFe₂O₄, ZnO پژوهشگران مطالعه و بررسی شده است (Zhang et al., 2008).

Hosseini et al., 2007, Wang et al., 2015, Tseng et al., 2006, Jafarzadeh et al., 2011, Khani and Sohrabi, 2012, Saucedo-Lucero and Arriaga, 2013, Khani and Pezeshki, 2016, Wu and Qu, 2005, Zhang et al., 2007, Mittal et al., Li et al., 2011, Jia et al., 2011, et al., 2009 2008, Wang Yang et al., 2004, Taguchi, 1987, Taguchi et al., 2000, Roy, 2001, Chen et al., 2017, Masunga et al., 2019, Zhan et al., 2018, Zhu et al., 2019)

هدف از این پژوهش، بررسی رنگبری پساب حاوی ماده رنگزای متیلن بلو^۵ (شکل ۱) در مجاورت نانوکامپوزیت ZnFe₂O₄-ZnO-perlite با استفاده از همزمان پرتو UV و LED بررسی اثر عواملی مانند تأثیر غلاظت نانوکامپوزیت، توان لامپ های UV و مرئی LED، مدت زمان تابش و دمای واکنش بود. در بین پارامترهای عملیاتی، غلاظت کاتالیزگر تأثیر بیشتری در تجزیه آلاینده فوق دارد و در این پژوهش مورد بحث و بررسی قرار گرفته است. ترکیب موردنظر برای اولین بار سنتز شد و طراحی واکنش هم صورت گرفت.

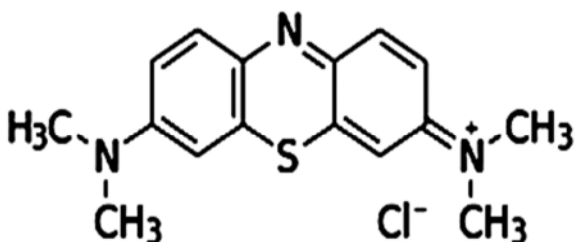


Fig. 1. Chemical structure of Methylene blue dye
شکل ۱- ساختار شیمیایی رنگ متیلن بلو

² Perlite

³ Bentonite

⁴ Clinoptilolite

⁵ Methylene Blue (MB)

آزو برای رنگی نمودن پلی آمیدها، پلی استرها، آکریلیک ها، پلی اولفین ها و الیاف سلولز و نیز برای رنگی نمودن روغن جلا، پلاستیک ها، جوهر چاپگر، لاستیک و لوازم آرایشی کاربرد دارند. بنابراین به دلیل تنوع کاربرد این رنگ ها، وجود این ترکیبات در آلودگی پساب صنایع و محیط قابل انتظار است (Prado et al., 2008, Borker and Salker, 2006, Mahmoudi et al., 2007, Konstantinou and Albanis, 2004).

به علاوه، امروزه تصفیه پساب های صنعتی نیز یک موضوع قابل توجه محیط زیستی به شمار می رود و بر طبق آمار حدود ۱۵ درصد از رنگ های تولید جهان در صنایع نساجی به مصرف می رسد. پساب هایی که در مراحل مختلف رنگرزی تولید می شوند شامل ترکیبات رنگی واکنش نداده، معرف های پراکنده کننده، سورفتکتانت ها، نمک و ترکیبات آلی که در رنگرزی شسته می شوند، می باشد. چند دلیل وجود دارد که رنگ ها باعث بروز مشکلاتی در آب ها می شوند:

(الف) با توجه به غلظت و زمان تأثیر رنگ، رنگ ها می توانند اثرات حاد و مزمن روی ارگانیسم هایی که در معرض آن ها قرار می گیرند، داشته باشند.

(ب) تمام مواد رنگی قابل رویت با توجه به رنگ و ضریب خاموشی، بر روی شفافیت آب تأثیر می گذارند. وارد نمودن غلظت بسیار کم پساب در رودخانه ها باعث غیرعادی شدن رنگ سطح آب می شود.

(ج) صرف نظر از مسئله زیبایی، رنگ ها نور خورشید ورودی به آب را جذب و یا منعکس می کنند که این، با رشد باکتری ها و نیز تجزیه بیولوژیکی در آب ها و زنجیره غذایی تداخل می یابد.

فرایند تجزیه فوتوكاتالیزگری از فناوری های رو به رشد است و اهمیت زیادی در زمینه تصفیه پساب ها پیدا کرده است. به خصوص برای تصفیه پساب های شامل مقدار کم مواد آلی مقاوم در مقابل تجزیه شیمیایی و بیولوژیکی، این روش، کاربرد ویژه ای دارد، به طوری که مهمترین روش تصفیه در مورد آلاینده های آلی در پساب ها، روش اکسیداسیون با کمک کاتالیزگر در حضور تابش همزمان پرتو فرابنفش^۶ و LED می باشد. در این روش، اکسیداسیون ترکیبات آلی در پساب به وسیله اکسیژن محلول (یا دمیده شده) و یا در حضور واکنشگرهای اکسید کننده دیگر مانند

⁶ Ultra Violet (UV)



بالایی باقی ماند. در انتها محتویات ظرف درون یک اتوکلاو ۱۰۰ میلی لیتری ریخته شد. این اتوکلاو در دمای ۲۱۵ درجه سلسیوس و به مدت ۲۴ ساعت درون آون قرار گرفت. پس از گذشت این مدت یک ماده دو فازی درون اتوکلاو تشکیل شد که شامل یک رسوب سیاه رنگ و یک محلول نارنجی پررنگ بود. با استفاده از آهنربا رسوب سیاه رنگ مغناطیسی از محلول جدا شد. رسوب مذکور چندین مرتبه به وسیله اتانول و آب مقطر شستشو داده شد. سپس، رسوب سیاه رنگ در دمای ۸۰ درجه سلسیوس و مدت زمان ۶ ساعت درون آون و سپس در همان دما و به مدت ۲۴ ساعت درون آون خلا، قرار گرفت. هدف از قرار دادن درون آون خلا، خارج کردن اندک اتیلن گلیکولی که احتمال داشت درون حفره‌های ماده نانو حفره روی فریت باقی مانده باشد، بود. در پایان فرایندهای فوق، رسوبی که به دست آمد همان ماده نانو حفره فریت روی بود.

۲-۱- سنتز فریت روی

برای سنتز نانوذرات اکسید روی به صورت خالص، مقدار ۸/۰ گرم استاتات روی درون ظرف بشر حاوی ۸۰ میلی لیتر آب دیونیزه اضافه و حل شد. در ادامه، آمونیاک به صورت قطره قطره به محلول تحت امواج اولتراسونیک اضافه شد تا زمانی که pH محلول به ۹ رسید. از زمانی که اضافه کردن آمونیاک به محلول آغاز شد، به تدریج دانه‌های کلوئید مانند سفید رنگی درون محلول ظاهر شد و زمانی که pH به ۹ رسید غلظت این دانه‌های کلوئیدی به حد اکثر خود رسید. در واقع این دانه‌های کلوئیدی سفید رنگ همان ذرات اکسید روی هستند. پس از رسیدن pH محلول به ۹ اضافه نمودن آمونیاک به محلول متوقف شد. در ادامه شد تا ذرات اکسید روی درون آن، تهشین شوند. در ادامه محلول قسمت بالایی را سریز کرده و دور ریخته شد و رسوب باقیمانده، چندین بار با آب دیونیزه شستشو داده شد. سپس، ترکیب مذکور به درون آون منتقل شد و در دمای ۶۰ درجه سلسیوس به مدت ۶ ساعت قرار داده شد تا خشک شود.

۳-۲- تثیت ZnO و $ZnFe_2O_4$ بر بستر پرلیت

برای تثیت ZnO و $ZnFe_2O_4$ بر بستر پرلیت، در ابتدا ۱/۶ گرم از ماده فریت روی سنتز شده و پرلیت، به ظرف محتوی ۱۰۰

۲- مواد و روش‌ها

متیلن بلو ساخت شرکت مرک^۱ بدون خالص‌سازی با درصد خلوص بیش از ۸۲ درصد استفاده شد. سایر مواد مورد استفاده با درجه خلوص آزمایشگاهی از شرکت مرک تهیه شدند.

دستگاه‌های استفاده شده در این پژوهش شامل: دستگاه XRD^۲ مدل Bruker AXS D8 advance، دستگاه SEM^۳ مدل AIS2100 (Seron Technology)، دستگاه اسپکتروفوتومتری^۴ Shimadzu UV-1700 و دستگاه FT-IR UV-VIS^۵ مدل Shimadzu FTIR-8400S، بودند.

۲-۱- سنتز فریت روی

برای سنتز فریت روی، ابتدا ۱/۰۹۲ گرم کلرید آهن (III) ($FeCl_3$)^۶ به همراه ۰/۲۷۲ گرم کلرید روی ($ZnCl_2$) به ظرف بشر حاوی ۷۰ میلی‌لیتر اتیلن گلیکول، اضافه شد. اتیلن گلیکول ماده‌ای بی‌رنگ است. اما پس از اضافه نمودن کلرید آهن، که نارنجی رنگ است، رنگ محلول نیز به نارنجی تغییر پیدا نمود. از طرفی، ترکیب کلرید روی نیز به سختی در محلول اتیلن گلیکول حل می‌شود. برای رفع این مشکل از یک همزن مکانیکی برای ترکیب مواد فوق استفاده شد و محلول مورد نظر با سرعت ۷۰ rpm، همزده شد. فرایند همزدن تا رسیدن به یک محلول شفاف نارنجی رنگ ادامه پیدا کرد. در این مرحله، بدون این که همزدن محلول متوقف شود، مقدار ۲/۳۱۲ گرم استاتات آمونیوم به محلول فوق اضافه شد. هدف از اضافه نمودن این ماده رسیدن به مورفولوژی کروی بود. در واقع استاتات آمونیوم نقش تعیین کننده مورفولوژی را بر عهده دارد (Yan et al., 2008).

Kadam et al., 2016)

با اضافه کردن استاتات آمونیوم، رنگ محلول ابتدا به قهوه‌ای تیره تغییر پیدا کرد. پس از گذشت حدود ۵ دقیقه محلول مورد نظر به کف تبدیل شد. رنگ کف تولید شده نیز نارنجی بود. فرایند همزدن به مدت ۲۰ دقیقه ادامه پیدا کرد تا یک سول نسبتاً غلیظ به دست آمد. این محلول به مدت ۵ دقیقه تحت امواج سونیکیت قرار گرفت. پس از انجام این فرایند، یک محلول نارنجی پررنگ در در قسمت زیرین و یک محلول نارنجی رنگ کف مانند نیز در قسمت

¹ Merck

² X-Ray Diffraction (XRD)

³ Scanning Electron Microscope (SEM)

⁴ Spectrophotometer

⁵ Fourier Transform Infrared Spectroscopy (FT-IR)



- (1) Batch reactor
- (2) UV/LED lamp
- (3) Air pump
- (4) Water pump
- (5) Thermo bath
- (6) Heat & Stirrer
- (7) Exchange
- (8) Sampling system
- (9) Electronic supply
- (10) Water gasket
- (11) Magnet

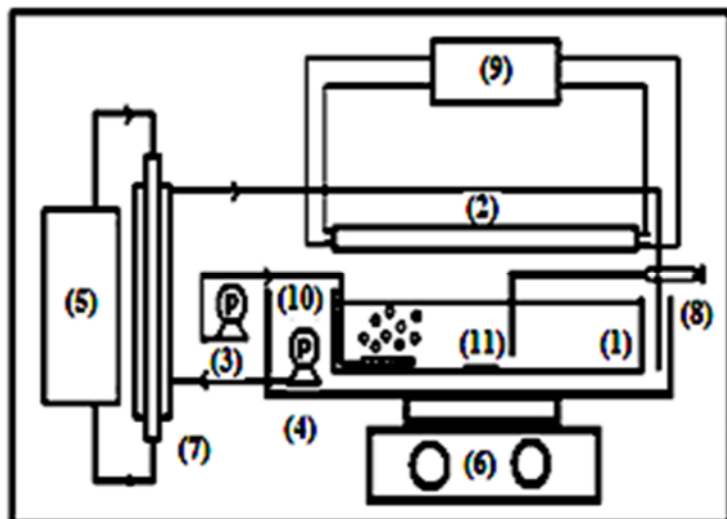


Fig. 2. Scheme of used photoreactor
شکل ۲- شماتی فوتوراکتور مورد استفاده

۴-۲- روش کار فوتوكاتالیزگری

فوتوراکتور مورد استفاده از نوع ناپیوسته^۱ بود. ۴ لامپ UV و ۴ لامپ LED، هر کدام با توانهای ۱۰، ۱۵، ۵ و ۲۰ وات استفاده شد. یک جریان برگشتی از پایین راکتور به سمت بالا برای همزندن محتويات راکتور و برقراری تابش برای همه ذرات برقرار شد (Mahmoodi and Arami, 2006). جریان بعد از خارج شدن از قسمت بالای راکتور وارد ظرف مبدأ شد. ابتدا محلول توسط یک پمپ سیرکوله با دبی ۱/۲۵ لیتر در دقیقه از این ظرف مبدأ به طرف راکتور انتقال یافت. در مسیر ظرف و راکتور یک مبرد قرار داده شد. حجم راکتور مورد استفاده با در نظر گرفتن محتويات اتصالات به آن حدود ۱۰۰۰ میلی لیتر بود. نمونه‌گیری از جریان خروجی راکتور صورت گرفت تا تغییری در عملکرد محلول تا آخرین لحظه به وجود نیاید، به این معنی که شرایط تمام نمونه‌گیری‌ها نیز یکسان بود. تمام محلول در معرض تابش همزمان پرتو فرابنفش و مرئی قرار گرفت بدون اینکه فضای مردهای به وجود آید. هنگام استفاده از نانوکامپوزیت به علت جریان و چرخش ذرات جامد آن به طور معلق در فضای راکتور باقی ماندند. برای رسیدن به این هدف علاوه بر جریان چرخش از یک همزن مغناطیسی که در قسمت زیرین ظرف حاوی محلول برگشتی قرار داشت استفاده شد. شکل ۲ سیستم فوتوراکتور مورد استفاده در این پژوهش را نشان می‌دهد.

¹ Batch

میلی‌لیتر آب دیونیزه اضافه شد و به مدت ۲۰ دقیقه تحت امواج اولتراسونیک قرار گرفت تا به خوبی در محلول پراکنده شوند. در ادامه ۷۸/۰ گرم استات روى به این مخلوط اضافه شد و ۲۰ دقیقه دیگر تحت امواج اولتراسونیک قرار گرفت. سپس آمونیاک به صورت قطره قطره در حین انجام فرایند سونیکیت به این محلول اضافه شد تا pH آن به ۹ برسد.

در ادامه، محتويات ظرف واکنش درون یک بالن ۲۵۰ میلی لیتری ریخته شد. بالن فوق الذکر در دمای ۱۲۰ درجه سلسیوس و به مدت ۳ ساعت تحت شرایط رفلکس قرار گرفت. پس از گذشت این مدت، محلول سل مانندی حاصل شد. از آنجایی که ذرات به دست آمده مغناطیسی هستند به کمک آهنربا ذرات در کف ظرف رسوب داده شد. سپس، رسوب مورد نظر چندین مرتبه توسط آب شست و شو داده شد تا ذرات اکسید روی که بر روی بستر ننشسته‌اند شسته شده و خارج شوند.

در انتها رسوب به دست آمده در دمای ۸۰ درجه سلسیوس به مدت ۲۴ ساعت درون آون قرار گرفت تا خشک شود. در مرحله پایانی نیز رسوب مورد نظر در دمای ۸۰ درجه سلسیوس به مدت ۸ ساعت درون آون خلاً قرار گرفت.

برای مقایسه، نانوکامپوزیت‌های ZnO- ZnFe₂O₄- perlite perlite نیز سنتز شدند. برای شناسایی ترکیبات تهیه شده از دستگاه‌های XRD و FT-IR استفاده شد.



شده است. پیک‌های ظاهر شده در الگوی XRD نمونه ZnFe_2O_4 -ZnO-perlite را می‌توان در واقع مجموع پیک‌های ظاهر شده در طیف‌های XRD نمونه‌های فربیت روی خالص و اکسید روی خالص عنوان کرد، با این تفاوت که شدت پیک‌های مربوطه در طیف XRD نمونه کامپوزیت کاهش پیدا کرده است. دلیل این امر آن است که پرلیت در نانوکامپوزیت حضور دارد.

طیف FT-IR نمونه‌های پرلیت خالص و نانوکامپوزیت ZnFe_2O_4 -ZnO-perlite در شکل ۳-۲ نشان داده شده است. پیک ظاهر شده در ناحیه 1069 cm^{-1} مربوط به گروه Si-O است که مشخصه پرلیت است. همان‌گونه که در شکل مشخص است، پیک‌های این نمونه شباهت زیادی با پیک‌های نمونه پرلیت خالص دارد و تفاوت عمدۀ آن شدت پیکی است که در ناحیه 575 cm^{-1} افزایش یافته است. این امر می‌تواند به این دلیل باشد که در نمونه نانوکامپوزیت علاوه بر اکسیدهای فلزی در پرلیت طبیعی خالص، فربیت روی و اکسید روی هم وجود دارد. در نتیجه مقدار ماده اکسید فلزی بیشتر می‌باشد.

بنابراین شدت پیک مربوط به پیوند ارتعاشی فلز- اکسید بیشتر خواهد بود. پیک‌های ضعیفی هم در $1417/58\text{ cm}^{-1}$ و $1627/81\text{ cm}^{-1}$ مشاهده شد که مربوط به پیوند کششی نامتقارن COO^- است. مشاهده این پیک‌ها نشان‌گر آن است که بخشی از ترکیب آمونیوم FT-IR استات وارد واکنش نشده و گروه کربوکسیلیک آن در طیف IR ظاهر شده است. همچنین وجود پیک پهن و ضعیف در حدود 4500 cm^{-1} حضور پیوند ارتعاشی کششی O-H را ثابت می‌کند. این امر بیان‌گر آن است که مقدار جزئی آب در ساختار نمونه جذب شده است.

در این پژوهش، تأثیر عوامل مختلف بر فرایند رنگبری MB شامل دما (20 ، 25 ، 30 و 35 درجه سلسیوس)، غلظت نانوکامپوزیت (1 ، 3 و 4 گرم در لیتر) و زمان پرتووده (30 ، 60 و 90 دقیقه) و توان پرتووده لامپ های UV و مرئی LED بررسی شد و حجم پساب مورد استفاده در کلیه آزمایشات 1000 میلی‌لیتر در نظر گرفته شد.

در جدول ۱ خلاصه مراحل آزمایش‌های بررسی عوامل مؤثر در تجزیه فوتکاتالیزگری رنگ MB نشان داده شده است. (Khani, and Sohrabi, 2012) پیشنهادی در هر مرحله انجام پذیرفت و پس از 5 مرحله تکرار پذیری در مدت زمان 120 دقیقه شرایط آزمایش مطابق جدول ۱ بهینه و میزان تبدیل و رنگبری شدن بررسی شد. سپس آزمایش پیشنهادی طبق روش فوق در شرایط بهینه انجام و مقدار درصد تبدیل از معادله زیر محاسبه شد

$$X = \frac{(C_0 - C)}{C_0} \quad (1)$$

که در آن C و C_0 به ترتیب غلظت ماده رنگرا در لحظات $t=0$ و $t=120$ دقیقه هستند. در ادامه خاصیت بازیابی فوتکاتالیزگر perlite، نیز بررسی شد.

۳- نتایج و بحث

۳-۱- مشخصه یابی نانوکامپوزیت
الگوهای XRD نمونه‌های اکسید روی خالص، فربیت روی خالص و نانوکامپوزیت ZnFe_2O_4 -ZnO-perlite در شکل ۳-a نشان داده

جدول ۱- شمای واکنش‌ها در فرایند

Table 1. Scheme of reactions in LED/UV/ ZnFe_2O_4 -ZnO-perlite process

ZnFe_2O_4 -ZnO-Perlite + $h\nu \rightarrow \text{ZnFe}_2\text{O}_4$ -ZnO ($e^-_{CB} + h^+_{VB}$)	(1) Consistence of hole and electron by photon absorbance
$h^+_{VB} + \text{H}_2\text{O}_{(aq)} \rightarrow \text{H}^+ + \cdot\text{OH}_{(aq)}$	(2) Oxidation of water by hole
$h^+_{VB} + \text{OH}^-_{(aq)} \rightarrow \cdot\text{OH}_{(aq)}$	(3) Oxidation of hydroxyl ion by hole
$e^-_{CB} + \text{O}_2_{(aq)} \rightarrow \cdot\text{O}_2^-_{(aq)}$	(4) Reduction of absorbed oxygen by electron of conduction band
$\cdot\text{O}_2^-_{(aq)} + \text{dye} \rightarrow \text{dye-OO}^-$	(5) Reduction of produced oxy radicals and dye
$h^+_{VB} + \text{dye} \rightarrow \text{dye}^{**} \rightarrow \text{oxidation of the dye}$	(6) Reaction of dye and hole
$\cdot\text{O}_2^-_{(aq)} + \text{HO}^- + \text{H}^+ \rightarrow \text{H}_2\text{O}_2 \text{ (ads)} + \text{O}_2 \text{ (ads)}$	(7) Reaction of produced radicals
$\cdot\text{OH}_{(ads)} + \text{dye} \rightarrow \text{degradation of the dye}$	(8) Reaction of hydroxyls and dye



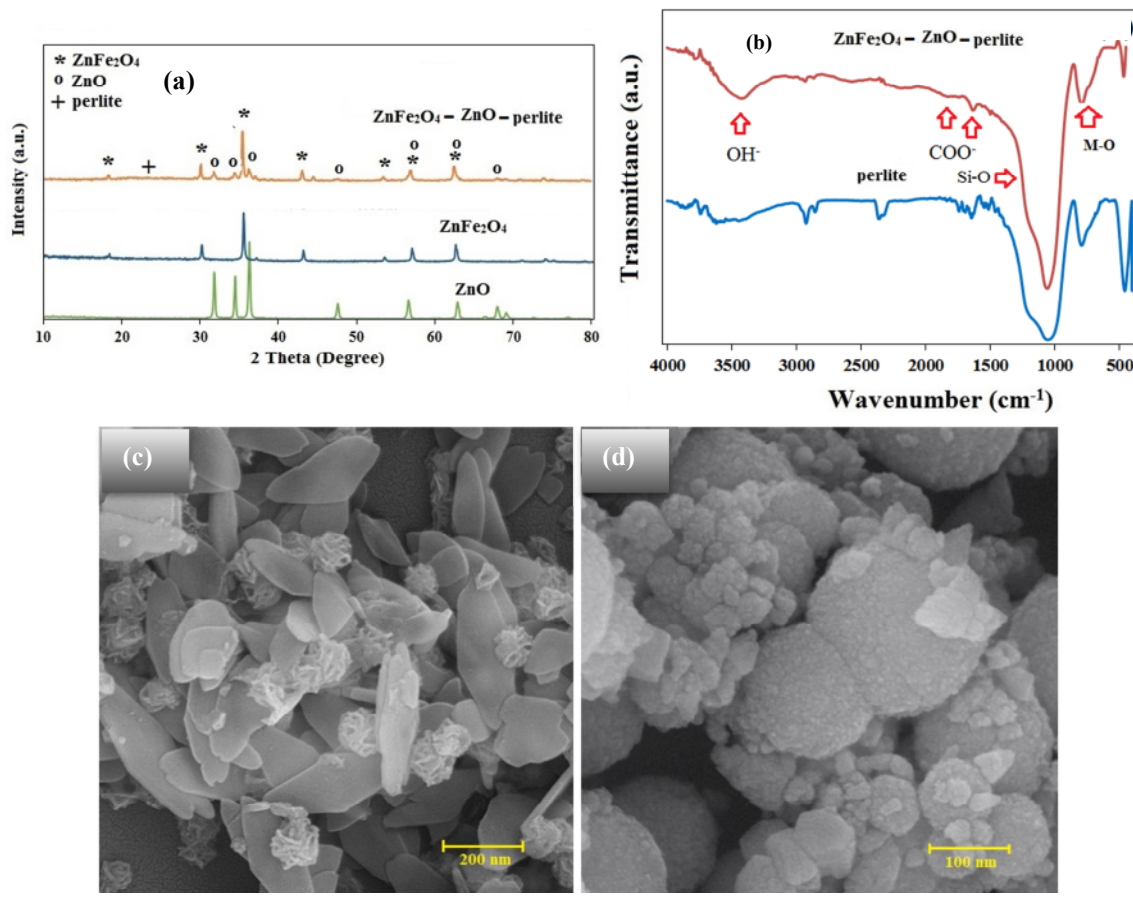


Fig. 3. a) XRD patterns and b) FT-IR spectra of prepared samples c) SEM image of ZnFe₂O₄-perlite nanocatalyst and d) SEM image of ZnFe₂O₄-ZnO-perlite nanocatalyst

ZnFe₂O₄-ZnO-perlite (c) SEM تصاویر و (d) طیف FT-IR (b) طیف (a) الگوی XRD

اکسایش اطلاق می‌شود که در طی آن، رادیکال‌های آزاد ایجاد شده تحت تابش همزمان پرتو UV و LED. باعث اکسایش ماده آلی می‌شود و مهمترین رادیکال آزاد ایجاد شده در این فرایند در محیط آبی، رادیکال هیدروکسیل است. این حد واسطه رادیکالی، در مرحله بعد توسط اکسیژن مولکولی محلول به دام می‌افتد و سپس با ایجاد رادیکال‌های پراکسید و هیدروکسید باعث پیشرفت و کامل شدن فرایند تجزیه می‌شوند. آلینده‌های آلی در نهایت به مواد ساده‌ای مانند آب، دی‌اکسید کربن، نیتروژن و اسیدهایمعدنی تجزیه می‌شوند.

در شکل ۴ طیف UV-Vis مربوط به ماده رنگزای MB پس از ۱۲۰ دقیقه نشان داده شده است. همانطور که مشاهده می‌شود بیشترین طول موج در ۶۶۴ نانومتر است و رنگبری کامل ماده رنگزا پس از ۱۲۰ دقیقه انجام می‌شود.

تصاویر SEM نانوکامپوزیت‌های ZnFe₂O₄-perlite و ZnFe₂O₄-ZnO-perlite به ترتیب در شکل‌های c-۳ و d-۳ نشان دهد که زمانی که تنها فریت روی بر روی پرلیت می‌نشینند مورفولوژی کروی حفره‌دار دارد، اما زمانی که اکسید روی بر بستر این نانوکامپوزیت تشکیل می‌شود، به صورت نانوذره تشکیل شده و روی سطح نانوگویی‌های فریت و صفحات پرلیت را می‌پوشاند. حفظ مورفولوژی کروی نشان می‌دهد که در واقع یک لایه ZnO به صورت یکنواخت بر روی ذرات کروی ثبیت شده است. همچنین به دلیل استفاده از امواج اولتراسونیک پرلیت دارای ساختار کوچکتری شده است.

۲-۳- بررسی فرایند تخریب فتوکاتالیزگری

به طور کلی فرایندهای اکسایش پیشرفت^۱ به واکنش‌های تجزیه و

¹ Advanced Oxidation Process (AOP)



می دهد که با افزایش غلظت کاتالیزگر به ۴ گرم در لیتر، سرعت واکنش کاهش یافته است. علت کاهش فعالیت فوتوكاتالیزگری در غلظت‌های بیشتر از ۳ گرم در لیتر، آن است که با افزایش مقدار فوتوكاتالیزگر پدیده پخش نور در اثر برخورد پرتوهای نور با ذرات کاتالیزگر پخش شده در محلول اتفاق افتاده است و تعدادی از فوتون‌های نور، انرژی خود را از دست داده است و به این ترتیب میزان واکنش‌های فوتوكاتالیزگری کاهش می‌یابد. بنابراین در ادامه فرایند، مقدار ۳ گرم در لیتر فوتوكاتالیزگر استفاده شد.

۲-۲-۳- بررسی تأثیر دما در فرایند تجزیه فوتوكاتالیزگری
شکل ۶، تأثیر دما در تجزیه فوتوكاتالیزگری رنگ را نشان می‌دهد. افزایش دما از ۲۰ درجه سلسیوس مشخص می‌کند که درصد تبدیل رنگ با افزایش دما افزایش می‌یابد. علت آن را می‌توان تأمین انرژی آکتیویسیون واکنش دانست. لازم به ذکر است دلیل اینکه دمای بیشتر از ۳۵ درجه سلسیوس انتخاب نشد این بود که در دماهای بالاتر احتمال تبخیر محلول افزایش می‌یابد و باعث تغییر غلظت رنگ بر اثر تبخیر حلال می‌شود.

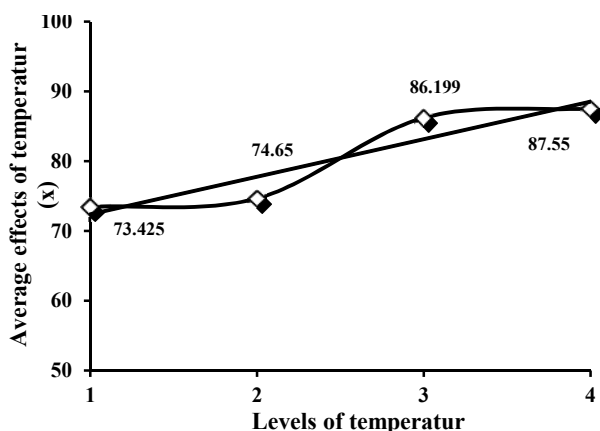


Fig. 6. Temperature effect on photocatalytic degradation of MB dye (Temperature was 10, 15, 30 and 35 °C)

شکل ۶- بررسی اثر دما بر روی تجزیه فوتوكاتالیزگری رنگ MB در شرایط میزان دما ۲۰، ۲۵، ۳۰ و ۳۵ درجه سلسیوس

۳-۲-۳- بررسی تأثیر زمان در فرایند تجزیه فوتوكاتالیزگری
شکل ۷، نتایج به دست آمده مربوط به تأثیر زمان در تجزیه رنگ را نشان می‌دهد. افزایش زمان تا ۱۲۰ دقیقه مشخص کرد که درصد تبدیل رنگ با افزایش زمان افزایش می‌یابد.

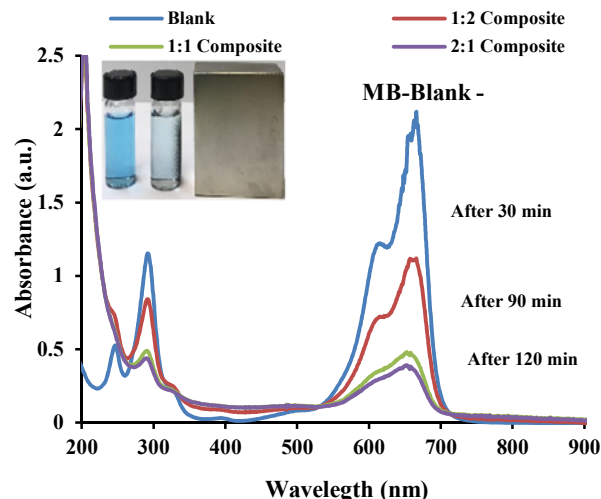


Fig. 4. UV-Vis. spectra of MB in optimum conditions (temperature= 35°C, initial concentration= 20 ppm, photocatalyst amount= 3 g/L, P_{LED} and UV= 20 W, Time= 0-120 min)

شکل ۴- طیف‌های UV-Vis- رنگ متیلن بلو در شرایط بهینه (دمای ۳۵ درجه سلسیوس، غلظت اولیه رنگ معادل ۲۰ ppm، مقدار فوتوكاتالیزگر ۳ گرم در لیتر و توان لامپ‌های UV و LED به صورت هم‌زمان هر کدام ۲۰ وات و در زمان‌های بین t=۰ تا t=۱۲۰ دقیقه)

۱-۲-۳- بررسی تأثیر مقدار نانوکامپوزیت در تجزیه فوتوكاتالیزگری

در این مرحله تأثیر مقدار مختلف نانو فوتوكاتالیزگر بین ۱ تا ۴ گرم در لیتر بر محلول رنگ، آزمایش شد. در شکل ۵ نتایج نشان

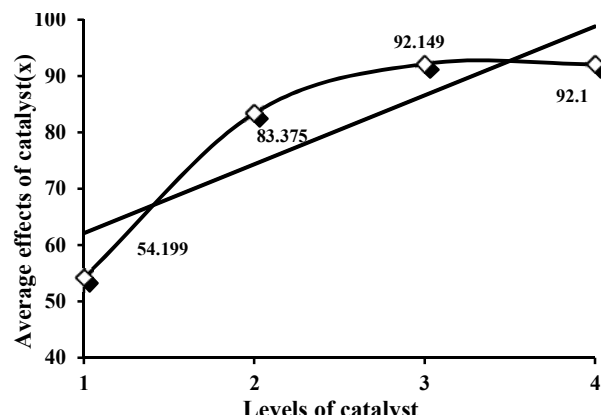


Fig. 5. Effect of nanocomposite amount on photocatalytic degradation of MB dye (nanocomposite amounts were 1, 2, 3 and 4 g/L)

شکل ۵- بررسی تأثیر مقدار نانوکامپوزیت در تجزیه فوتوكاتالیزگری رنگ MB در شرایط میزان نانوکامپوزیت به ترتیب ۱، ۲، ۳ و ۴ گرم در لیتر



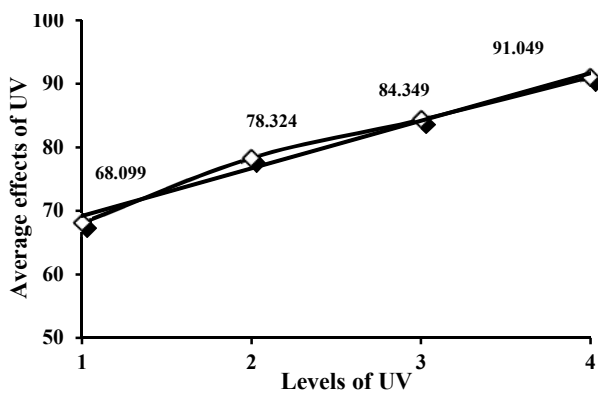


Fig. 9. UV lamp effect on photocatalytic degradation of MB dye (Power was 5, 100, 15 and 20 W)

شکل ۹- بررسی تأثیر لامپ UV در تجزیه فتوکاتالیزگری رنگ MB در شرایطی که میزان توان لامپ ۵، ۱۰، ۱۵ و ۲۰ وات

افزایش توان لامپ تعداد فتوالکترون‌های برانگیخته بیشتر و کارایی فتوکاتالیزگری افزایش پیدا کرد همچنین نور لامپ توانست باعث ایجاد درصد کمی فتوولیز شود.

۶-۳-بررسی اثر پارامترهای مؤثر در تجزیه فتوکاتالیزگری MB حاصل از طراحی آزمایش
پارامترهای مؤثر در تجزیه فتوکاتالیزگری MB در شکل ۱۰ نشان داده شده است. با توجه به نمودار، مشخص شد که درصد عوامل مؤثر به ترتیب غلظت نانوکامپوزیت، توان لامپ UV، زمان، دما و توان لامپ LED هستند.

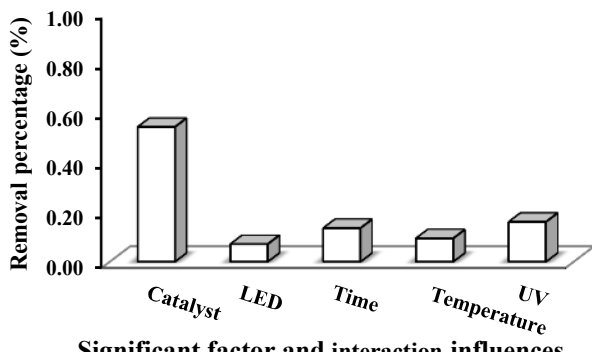


Fig. 10. Effective parameters on photocatalytic degradation of MB

شکل ۱۰- بررسی اثر پارامترهای مؤثر در تجزیه فتوکاتالیزگری MB

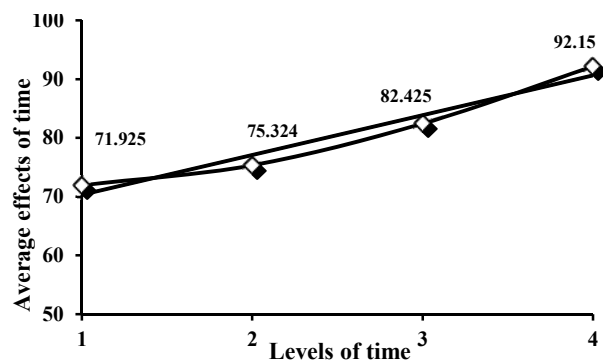


Fig. 7. Time effect on photocatalytic degradation of MB dye (Times were 30, 60, 90 and 120 min)

شکل ۷- بررسی اثر زمان بر روی تجزیه فتوکاتالیزگری رنگ MB در شرایط زمان پرتوودهی ۳۰، ۶۰، ۹۰ و ۱۲۰ دقیقه

۴-۲-۳-بررسی تأثیر لامپ LED در فرآیند تجزیه فتوکاتالیزگری

در شکل ۸، تأثیر لامپ مرئی LED در تجزیه رنگ نشان داده شده است. با افزایش میزان توان لامپ، درصد تبدیل رنگ افزایش یافت. با افزایش توان لامپ تعداد فتوالکترون‌هایی که می‌توانند در محدوده نور مریمی برانگیخته شوند بیشتر می‌شود و کارایی فتوکاتالیزگری افزایش می‌یابد. همچنین نور لامپ می‌تواند باعث ایجاد فتوولیز شود.

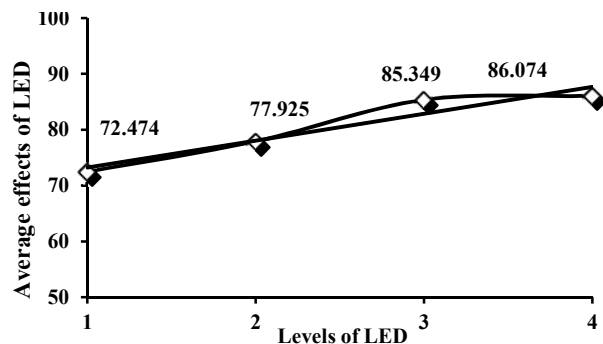


Fig. 8. LED visible lamp effect on photocatalytic degradation of MB dye (Power was 5, 100, 15 and 20 W)

شکل ۸- بررسی تأثیر لامپ مرئی LED در تجزیه فتوکاتالیزگری رنگ MB در شرایط میزان توان لامپ ۵، ۱۰، ۱۵ و ۲۰ وات

۴-۲-۴-بررسی تأثیر لامپ UV در فرآیند تجزیه فتوکاتالیزگری

در شکل ۹، تأثیر لامپ UV در تجزیه رنگ نشان داده شده است. با افزایش میزان توان لامپ درصد تبدیل رنگ افزایش یافت. با

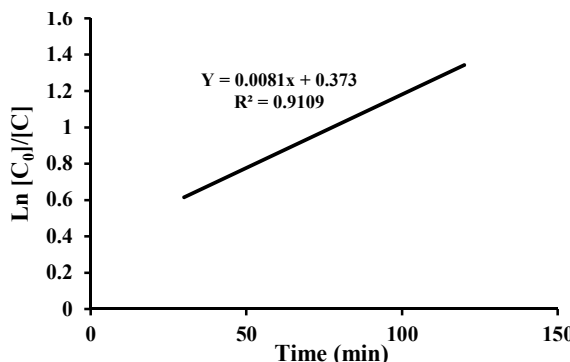


Fig. 11. Graph of $\ln[C_0]/[C]$ vs time of photocatalytic degradation of MB dye (temprature= 35°C, initial concentration= 20 ppm, photocatalyst amount= 3 g/L, $P_{LED \text{ and } UV}= 20 \text{ W}$, Time= 0-120 min)

شکل ۱۱- نمودار $\ln[C_0]/[C]$ بر حسب زمان برای تجزیه

فوتوكاتالیزگر رنگ MB (در شرایط: دمای ۲۵ درجه سلسیوس، غلظت اولیه رنگ معادل ۲۰ ppm، مقدار نانوکامپوزیت ۳ گرم در لیتر، توان لامپ‌های UV و LED ۲۰ وات و در زمان‌های بین $t=0$ تا $t=120$ دقیقه)

۷-۲-۳- بررسی سینتیک واکنش فوتوكاتالیزگری MB

باتوجه به کارهای سینتیکی قبلی که بر روی تجزیه فوتوكاتالیزگری رنگ‌ها انجام شده است، مناسب‌ترین فرض آن است که تجزیه رنگ مذکور از نوع واکنش‌های شبه مرتبه اول در نظر گرفته شود.

در این صورت معادله سینتیکی واکنش به صورت زیر است

$$\ln = C_0/CK \quad (2)$$

که در آن

C_0 غلظت اولیه رنگ و C غلظت رنگ پس از گذشت زمان t از شروع تابش است. در این صورت چنانچه نمودار این معادله را بر حسب زمان t رسم نماییم، خطی بدست می‌آید که شبیه این خط معادل ثابت سرعت واکنش (k) خواهد بود.

با رسم نمودار معادله ۲ بر حسب زمان این فرض به تأیید می‌رسد. شکل ۱۱ این نتایج را که تأییدی بر فرض گفته شده است را نشان می‌دهد. مکانیسم واکنش فوتوكاتالیزگری نمونه سنتز شده در شکل ۱۲ نشان داده شده است. علت تشکیل رادیکال‌های فعال

جدول ۲- خلاصه‌ای از نتایج بدست آمده برای انواع مختلفی از فوتوكاتالیزگرهایی که بر اساس نور کار می‌کنند

Table 2. Summary of the results for various visible-light-driven photocatalysts

Number	Photocatalyst	Reaction Conditions	Efficiency (%)
1	$\text{Bi}_2\text{MoO}_6/\text{BiOBr}$	40 min, 25°C, 30 mg catalyst, 30 ml pollutant	90
2	ZnO/CdO	270 min, 25°C, 25 mg catalyst, 50 ml pollutant	100
3	$\text{ZnO}/\text{Ag}_2\text{O}$	30 min, 25°C, 100 mg catalyst, 100 ml pollutant	98
4	$\text{ZnFe}_2\text{O}_4-\text{ZnO}$ -perlite	120 min, 35°C, 3 g catalyst, 1000 ml pollutant	98

جذب نور مرئی می‌شود و بنابراین کارایی فعالیت فوتوكاتالیزگری در این کامپوزیت افزایش می‌یابد. انتقال الکترون‌ها از باند هدایت فریت روی به باند هدایت اکسید روی از بازنترکیب الکترون- حفره جلوگیری می‌کند. برای مقایسه میزان بازدهی فوتوكاتالیزگر تهیه شده، میزان بازدهی به دست آمده از چند مقاله مرتبط در جدول ۲ آورده شده است. (Hu et al., 2018, Yousef et al., 2012, Kadam et al., 2016)

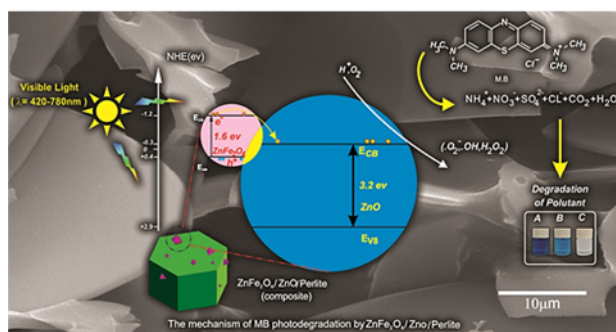


Fig. 12. Photocatalytic activity mechanism of $\text{ZnFe}_2\text{O}_4-\text{ZnO}$ -perlite

شکل ۱۲- مکانیسم فعالیت فوتوكاتالیزگری $\text{ZnFe}_2\text{O}_4-\text{ZnO}$ -perlite در فرایندهای فوتوكاتالیزگری، مکانیسم الکترون- حفره است. همان‌طور که در این شکل مشاهده می‌شود حضور فریت روی باعث



کوتاه‌ترین بازه زمانی، آلاینده رنگی تخریب شد. علت تشکیل رادیکال‌های فعال در فرایندهای فوتوکاتالیزگری، مکانیسم الکترون - حفره است. براساس این مکانیسم‌ها در شدت تابش‌های بیشتر، تعداد الکترون‌های انتقال یافته از باند ظرفیت به باند هدایت افزایش یافت و به این ترتیب تعداد حفرات ایجاد شده نیز افزایش پیدا کرد.

از طرف دیگر در شدت‌های تابش بیشتر، امکان برگشت الکترون از باند هدایت به باند ظرفیت نیز کاهش یافت. بنابراین هرچند میزان کل تابش در راکتور ثابت بود اما نحوه انجام تابش نیز در سرعت واکنش فوتوکاتالیزگری مؤثر بود و در مورد رنگ MB مشخص شد که وقتی جرم فوتوکاتالیزگر به کار گرفته شده بیش از یک مقدار معین در محلول افزایش یابد به علت کاهش تعداد فوتون‌هایی که به سطح کاتالیزگر می‌رسند.

همچنین انجام پدیده پخش نور، سرعت فرایند فوتوکاتالیزگری کاهش یافت. بررسی پارامترهای مؤثر در تجزیه فوتوکاتالیزگری MB نشان داد که عوامل مؤثر در تجزیه آلاینده‌های رنگی شامل جرم نانوکامپوزیت (۳ گرم در لیتر)، زمان (۱۲۰ دقیقه)، دما (۳۵ درجه سلسیوس)، توان لامپ UV (۲۰ وات) و توان لامپ مرئی (۲۰ وات) است.

۵- قدردانی

به این وسیله از دانشگاه آزاد اسلامی واحد علوم و تحقیقات تهران و دانشگاه علم و صنعت ایران در انجام این پژوهش قدردانی می‌شود. همچنین از آقایان محمد ابراهیمی و مهدی حیدری گلفرانی که در جمع آوری بخشی از اطلاعات همکاری نمودند، تشکر بعمل می‌آید.

پس از پایان یک واکنش، فوتوکاتالیزگر از محلول واکنش جدا شد. در زمینه جداسازی به علت اینکه نانوکامپوزیت سنتز شده دارای خاصیت مغناطیسی است، با اعمال یک میدان مغناطیسی، به آسانی جدا می‌شود. پس از جداسازی، فوتوکاتالیزگر چندین مرتبه با آب مقطر و استون شست و شو داده شد و مجدداً در یک واکنش فوتوکاتالیزگری دیگر استفاده شد. نتایج به دست آمده نشان داد که ترکیب مورد نظر تا ۴ مرتبه می‌تواند با کارایی زیادی در واکنش تخریب فوتوکاتالیزگری شرکت کند. در شکل ۱۳ این نتایج نشان داده شده است.

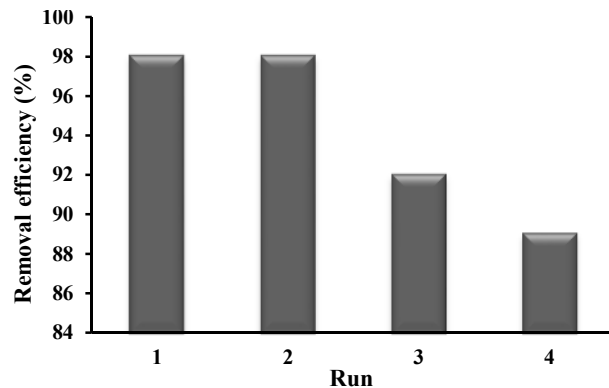


Fig. 13. Reusability graphs of $\text{ZnFe}_2\text{O}_4\text{-ZnO-perlite}$ photocatalyst

شکل ۱۳- نمودارهای بازیابی فوتوکاتالیزگر $\text{ZnFe}_2\text{O}_4\text{-ZnO-perlite}$

۴- نتیجه‌گیری

نتایج آزمایشگاهی در مقایسه با سایر پژوهش‌های انجام شده نشان داد که روش انجام شده در تولید نانوکامپوزیت $\text{ZnFe}_2\text{O}_4\text{-ZnO-perlite}$ روشنی مناسب و کارآمد در تجزیه آلاینده‌های رنگی از جمله رنگ متیلن بلو است، به طوری که تحت هر کدام از نورهای مرئی LED و یا UV با استفاده از حداقل مقدار نانوکامپوزیت و

References

- Behnajady, M., Modirshahla, N. & Hamzavi, R. 2006. Kinetic study on photocatalytic degradation of CI Acid Yellow 23 by ZnO photocatalyst. *Journal of Hazardous Materials*, 133, 226-232.
- Borker, P. & Salker, A. 2006. Photocatalytic degradation of textile azo dye over $\text{Ce}_1\text{-xSn}_x\text{O}_2$ series. *Materials Science and Engineering: B*, 133, 55-60.
- Chen, X., Wu, Z., Liu, D. & Gao, Z. 2017. Preparation of ZnO photocatalyst for the efficient and rapid photocatalytic degradation of azo dyes. *Nanoscale Research Letters*, 12, 143.

- Hoshiyama, N., Dabwan, A. H., Katsumata, H., Suzuki, T., Furukawa, M. & Kaneco, S. 2016. Enhanced photocatalytic degradation of bisphenol A in aqueous solution by Ag-doping ZnO. *Open Journal of Inorganic Non-metallic Materials*, 6, 13-17.
- Hosseini, S., Borghei, S., Vossoughi, M. & Taghavinia, N. 2007. Immobilization of TiO₂ on perlite granules for photocatalytic degradation of phenol. *Applied Catalysis B: Environmental*, 74, 53-62.
- Hu, T., Yang, Y., Dai, K., Zhang, J. & Liang, C. 2018. A novel Z-scheme Bi₂MoO₆/BiOBr photocatalyst for enhanced photocatalytic activity under visible light irradiation. *Applied Surface Science*, 456, 473-481.
- Jafarzadeh, N. K., Sharifnia, S., Hosseini, S. N. & Rahimpour, F. 2011. Statistical optimization of process conditions for photocatalytic degradation of phenol with immobilization of nano TiO₂ on perlite granules. *Korean Journal of Chemical Engineering*, 28, 531-538.
- Jia, Z., Ren, D., Liang, Y. & Zhu, R. 2011. A new strategy for the preparation of porous zinc ferrite nanorods with subsequently light-driven photocatalytic activity. *Materials Letters*, 65, 3116-3119.
- Kadam, A., Dhabbe, R., Gophane, A., Sathe, T. & Garadkar, K. 2016. Template free synthesis of ZnO/Ag₂O nanocomposites as a highly efficient visible active photocatalyst for detoxification of methyl orange. *Journal of Photochemistry and Photobiology B: Biology*, 154, 24-33.
- Khani, A. & Pezeshki, B. 2016. Easy simultaneous synthesis-immobilization of nanosized CuO-ZnO on perlite as a photocatalyst for degradation of acid orange 7 from aqueous solution in the presence of visible light. *Desalination and Water Treatment*, 57, 7047-7053.
- Khani, A. & Sohrabi, M. R. 2012. Simultaneous synthesis-immobilization of nano ZnO on perlite for photocatalytic degradation of an azo dye in semi batch packed bed photoreactor. *Polish Journal of Chemical Technology*, 14, 69-76.
- Kong, L., Jiang, Z., Xiao, T., Lu, L., Jones, M. O. & Edwards, P. P. 2011. Exceptional visible-light-driven photocatalytic activity over BiOBr-ZnFe₂O₄ heterojunctions. *Chemical Communications*, 47, 5512-5514.
- Konstantinou, I. K. & Albanis, T. A. 2004. TiO₂-assisted photocatalytic degradation of azo dyes in aqueous solution: kinetic and mechanistic investigations: a review. *Applied Catalysis B: Environmental*, 49, 1-14.
- Li, X., Hou, Y., Zhao, Q., Teng, W., Hu, X. & Chen, G. 2011. Capability of novel ZnFe₂O₄ nanotube arrays for visible-light induced degradation of 4-chlorophenol. *Chemosphere*, 82, 581-586.
- Mahmoodi, N. M. & Arami, M. 2006. Bulk phase degradation of Acid Red 14 by nanophotocatalysis using immobilized titanium (IV) oxide nanoparticles. *Journal of Photochemistry and Photobiology A: Chemistry*, 182, 60-66.
- Mahmoudi, N., Arami, M., Gharanjig, K. & Nourmohammadian, F. 2007. Decolorization and mineralization of basic dye using nanophotocatalysis: pilot scale study. *Journal of Color Science and Technology*, 1(1), 1-6.
- Masunga, N., Mmelesi, O. K., Kefeni, K. K. & Mamba, B. B. 2019. Recent advances in copper ferrite nanoparticles and nanocomposites synthesis, magnetic properties and application in water treatment. *Journal of Environmental Chemical Engineering*, 103179.
- Mittal, A., Gajbe, V. & Mittal, J. 2008. Removal and recovery of hazardous triphenylmethane dye, Methyl Violet through adsorption over granulated waste materials. *Journal of Hazardous Materials*, 150, 364-375.
- Prado, A. G., Bolzon, L. B., Pedroso, C. P., Moura, A. O. & Costa, L. L. 2008. Nb₂O₅ as efficient and recyclable photocatalyst for indigo carmine degradation. *Applied Catalysis B: Environmental*, 82, 219-224.
- Raza, W., Faisal, S. M., Owais, M., Bahnemann, D. & Muneer, M. 2016. Facile fabrication of highly efficient modified ZnO photocatalyst with enhanced photocatalytic, antibacterial and anticancer activity. *RSC Advances*, 6, 78335-78350.



- Roy, R. 2001. *Design of experiments using the taguchi approach: 16 steps to product and process improvement*, John Wiley & Sons, New York.
- Saucedo-Lucero, J. & Arriaga, S. 2013. Photocatalytic degradation of hexane vapors in batch and continuous systems using impregnated ZnO nanoparticles. *Chemical Engineering Journal*, 218, 358-367.
- Srinivasan, S. S., Wade, J. & Stefanakos, E. K. 2006. Synthesis and characterization of photocatalytic TiO₂-ZnFe₂O₄ nanoparticles. *Journal of Nanomaterials*, 2006.
- Taguchi, G. 1987. *System of experimental design; engineering methods to optimize quality and minimize costs*, Unipub, New York.
- Taguchi, G., Chowdhury, S. & Taguchi, S. 2000. *Robust engineering: learn how to boost quality while reducing costs and time to market*, McGraw-Hill Professional Pub.
- Tian, C., Zhang, Q., Wu, A., Jiang, M., Liang, Z., Jiang, B., et al. 2012. Cost-effective large-scale synthesis of ZnO photocatalyst with excellent performance for dye photodegradation. *Chemical Communications*, 48, 2858-2860.
- Tseng, Y.-H., Kuo, C.-S., Huang, C.-H., Li, Y.-Y., Chou, P.-W., Cheng, C.-L., et al. 2006. Visible-light-responsive nano-TiO₂ with mixed crystal lattice and its photocatalytic activity. *Nanotechnology*, 17, 2490.
- Wang, R.-C., Fan, K.-S. & Chang, J.-S. 2009. Removal of acid dye by ZnFe₂O₄/TiO₂-immobilized granular activated carbon under visible light irradiation in a recycle liquid-solid fluidized bed. *Journal of the Taiwan Institute of Chemical Engineers*, 40, 533-540.
- Wang, X., Wang, W., Wang, X., Zhang, J., Zhao, J., Gu, Z., et al. 2015. Synthesis, structural characterization and evaluation of floating BN codoped TiO₂/expanded perlite composites with enhanced visible light photoactivity. *Applied Surface Science*, 349, 264-271.
- Wu, R. & Qu, J. 2005. Removal of water-soluble azo dye by the magnetic material MnFe₂O₄. *Journal of Chemical Technology and Biotechnology: International Research in Process, Environmental and Clean Technology*, 80, 20-27.
- Yan, A., Liu, X., Yi, R., Shi, R., Zhang, N. & Qiu, G. 2008. Selective synthesis and properties of monodisperse Zn ferrite hollow nanospheres and nanosheets. *The Journal of Physical Chemistry C*, 112, 8558-8563.
- Yang, H., Zhang, X., Huang, C., Yang, W. & Qiu, G. 2004. Synthesis of ZnFe₂O₄ nanocrystallites by mechanochemical reaction. *Journal of Physics and Chemistry of Solids*, 65, 1329-1332.
- Yousef, A., Barakat, N. A., Amna, T., Unnithan, A. R., Al-Deyab, S. S. & Kim, H. Y. 2012. Influence of CdO-doping on the photoluminescence properties of ZnO nanofibers: effective visible light photocatalyst for waste water treatment. *Journal of Luminescence*, 132, 1668-1677.
- Zhan, Y., Meng, Y., Li, W., Chen, Z., Yan, N., Li, Y., et al. 2018. Magnetic recoverable MnFe₂O₄/cellulose nanocrystal composites as an efficient catalyst for decomposition of methylene blue. *Industrial Crops and Products*, 122, 422-429.
- Zhang, B., Zhang, J. & Chen, F. 2008. Preparation and characterization of magnetic TiO₂/ZnFe₂O₄ photocatalysts by a sol-gel method. *Research on Chemical Intermediates*, 34, 375-380.
- Zhang, G., Qu, J., Liu, H., Cooper, A. T. & Wu, R. 2007. CuFe₂O₄/activated carbon composite: a novel magnetic adsorbent for the removal of acid orange II and catalytic regeneration. *Chemosphere*, 68, 1058-1066.
- Zhu, B., Cheng, H., Ma, J., Kong, Y. & Komarneni, S. 2019. Efficient degradation of rhodamine B by magnetically separable ZnS-ZnFe₂O₄ composite with the synergistic effect from persulfate. *Chemosphere*, 237, 124547.

